



Без рецензії (в авторській інтерпретації)...

ФЕДОТОВ С.П.

КОСМІЧНІ МЕХАНІЗМИ ЖИТТЯ (ГЕНЕТИЧНИЙ КОД ЯК СТРУКТУРА ЕЛЕМЕНТІВ ЧЖЕНЬ-ЦЗЮ)

ІНФОРМАЦІЯ 2

Член-кореспондент ГО Національна академія природознавства України
(Санкт-Петербурзьке відділення Далекосхідної академії пульсу, РФ)

Стаття «Генетичний код як структура стихій (елементів) китайської філософії» висуває гіпотезу про структуру формування кодонів ДНК як відображенні хвильових процесів в природі. В роботі показано зв'язок елементів китайської філософії (в інтерпретації попередньої роботи «Елементи Життя») зі структурою кодонів ДНК. Висунуто гіпотезу про формування вихрової трубки ДНК як слідства гідродинамічного ефекту від обтікання праймера потоком ідеальної рідини (ефіру). Дана схема добової хвильової активації кодонів на основі їх кореляції зі структурою стихій в китайській філософії. Представлений варіант кореляції кожного азотистого підстави в кодоні з певним меридіаном традиційної китайської медицини на основі їх спектрального відповідності - це припущення встановлює властивості кожного азотистого підстави в залежності від його позиції в кодоні, що дозволяє вирішити питання про надмірності варіантів кодування амінокислот.

Ключові слова: комплементарна медицина, акупунктура, рефлексотерапія.

The article "The genetic code as a structure of the Five elements in Chinese philosophy" hypothesizes about the structure of the formation of the DNA codons as a reflection of the wave processes in nature. The paper shows the relationship of elements of Chinese philosophy (in the interpretation of previous work "Elements of Life") with the structure of the DNA codons. The hypothesis is proposed that formation of the vortex tube of DNA goes under a hydrodynamic effect of stream of ideal liquid (Aether) when liquid flows around the primer of DNA's chain. It is shown the scheme of activation of DNA codons as a result of order of natural oscillations during a day on the base of their correlation with the structure of Elements in Chinese philosophy. A version of the correlation of each nitrogenous base in the codon with a certain meridian of traditional Chinese medicine on the basis of their spectral matching is represented. This assumption establishes the properties of each nitrogenous base, depending on its position in the codon and such correlation solves the problem of redundancy of amino acids encoding options.

Key words: complementary medicine, acupuncture, reflexotherapy.

Статья «Генетический код как структура стихий (элементов) китайской философии» выдвигает гипотезу о структуре формирования кодонов ДНК как отражении волновых процессов в природе. В работе показана связь элементов китайской философии (в интерпретации предыдущей работы «Элементы Жизни») со структурой кодонов ДНК. Выдвинута гипотеза о формировании вихревой трубки ДНК как следствия гидродинамического эффекта от обтекания праймера потоком идеальной жидкости (эфира). Дана схема суточной волновой активации кодонов на основе их корреляции со структурой стихий в китайской философии. Представлен вариант корреляции каждого азотистого основания в кодоне с определенным меридианом традиционной китайской медицины на основе их спектрального соответствия – это предположение устанавливает свойства каждого азотистого основания в зависимости от его позиции в кодоне, что позволяет решить вопрос об избыточности вариантов кодирования аминокислот.

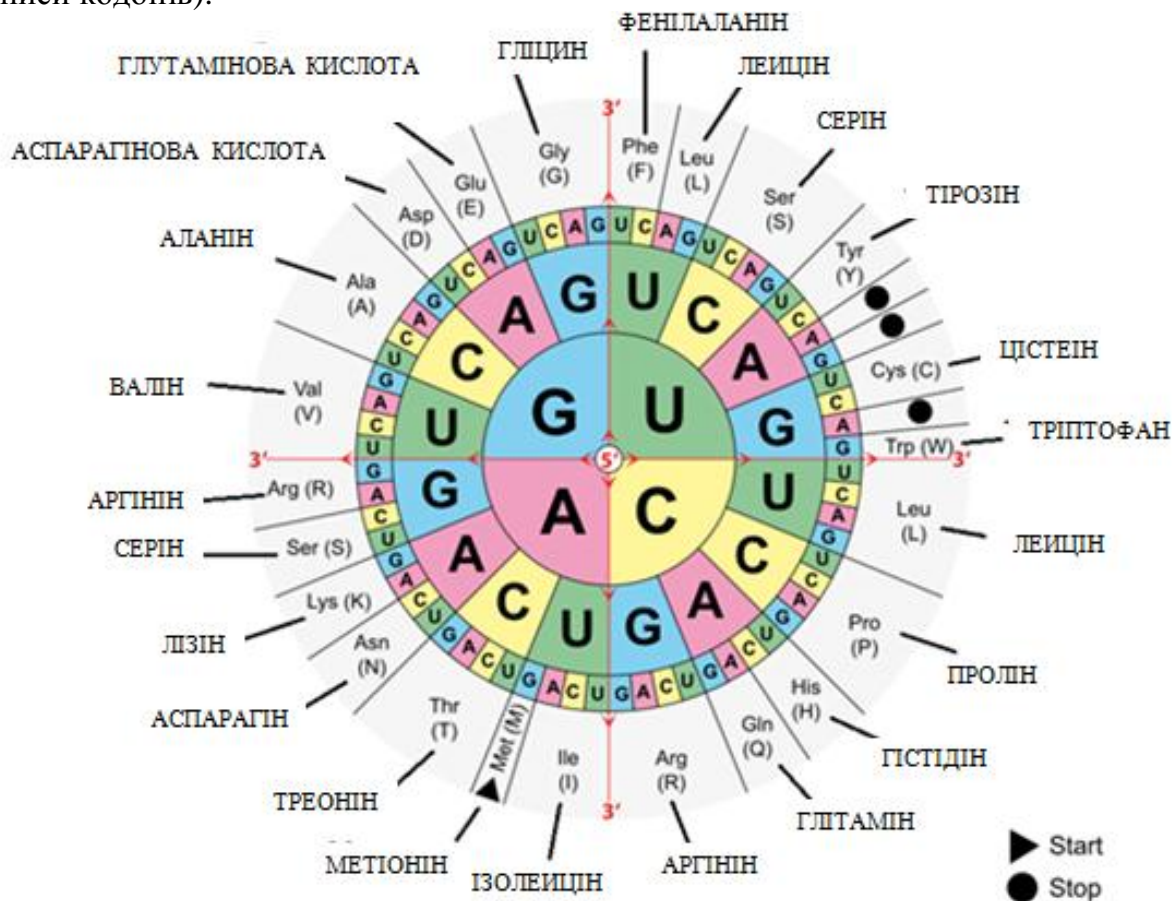
Ключевые слова: комплементарная медицина, акупунктура, рефлексотерапия.

Вступ

В статті «Елементи життя» було розглянуто 4 макроелементи доктора О.Самохоцького (калій, кальцій, магній, натрій) і їх зв'язок з так званими “китайськими стихіями (елементами)”. Такий розділ науки як генетика також оперує чотирма видами азотистих основ: Цитозін (С), Аденин (А), Гуанін (G), Тимін (Т) [Урацил (U)], Дивно, але тільки чотири елементарних цеглинки формують послідовність ланцюга ДНК, яка задає програму зародження та існування будь-якого живого організму на Землі. Спробуємо встановити зв'язок між макроелементами доктора Самохоцького, азотистими основами нуклеїнових кислот і китайськими стихіями (елементами).

Відправна точка

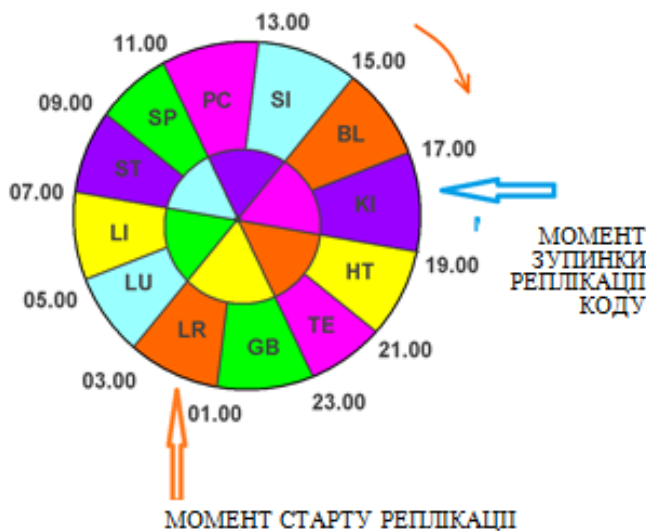
Згідно загальним уявленням, генетичному коду притаманні наступні властивості: *Триплетність* - значущою одиницею коду є поєднання трьох нуклеотидів (триплет, або кодон); *Безперервність* - між триплетами немає роздільних знаків, тобто інформація зчитується безперервно; *Неперекриваємість* - один і той же нуклеотид не може входити одночасно до складу двох або більше триплетів (не дотримується для деяких перекриваючихся генів вірусів, мітохондрій і бактерій, які кодують кілька білків, зчитуючимися з зсувом рамки); *Однозначність (специфічність)* - певний кодон відповідає тільки одній амінокислоті (проте, кодон UGA у *Euplotes crassus* кодує дві амінокислоти - цистеїн і селеноцистеїн); *Виродженість (надмірність)* – до однієї амінокислоти може співвідноситися кілька кодонів; *Універсальність* - генетичний код працює однаково в організмах різного рівня складності - від вірусів до людини (на цьому засновані методи генної інженерії); *Перешкодостійкість* - мутації заміни нуклеотидів, що не приводять до зміни класу кодованої амінокислоти, називають консервативними; мутації замін нуклеотидів, що призводять до зміни класу кодованої амінокислоти, називають радикальними; *Знаки призупинки* - триплети виконують функцію знаків пунктуації (також відомий секторний вид записи кодонів).



Мал.1 Читати кодони слід від центру до периферії кола (від 5' кінця до 3'). Знаками Start і Stop показані кодони, які відповідно починають (Метіонін - AUG) і завершують (UAA, UAG, UGA) побудову ланцюжка ДНК.

Випадковість чи ні?

Положення кодонів Start і Stop в секторному запису (мал.1) збігаються з положенням фаз добової циркуляції китайських меридіанів: Печінка (китайська стихія Дерево), Сечового міхура і Нирок (китайська стихія Води).



Мал.2

На мал.2 колір секторів вказує на власні частоти китайських меридіанів в діапазоні видимого світла, а кожна пара меридіанів генерує власні частоти китайських стихій (колір стихій вказано в шестисекторному колі в середині). Доплеровский принцип генерації власних частот меридіанів і стихій описаний в статті "Космічний механізм життя? (7). Скорочені назви меридіанів представлені в наступному вигляді: *Стихія Дерева*: Інь Дерева Печінка LR; Ян Дерева Жовчний міхур GB; *Стихія Вогню*: Інь Вогню Серце HT;

Ян Вогню Тонкий кишечник SI; *Стихія Землі*: Інь Землі Селезінка SP; Ян Землі Шлунок ST; *Стихія Металу*: Інь Металу Легкі LU; Ян Металу Товстий кишечник LI; *Стихія Води*: Інь Води Нирки KI; Ян Води Сечовий міхур BL; *Стихія Вогню-Міністра*: Інь Вогню-Міністра Перикард PC; Ян Вогню-Міністра Потрійний обігрівач (Кров) – TE.

У теорії традиційної китайської медицини будь-який процес починається зі стихії Дерево (фаза розвитку) і закінчується стихією Води - фази занепаду (1). Тобто сенс зв'язку початкового і кінцевого триплету зі стихіями, в секторному варіанті записи кодонів (мал.1), стає очевидним. При цьому ми отримуємо частоти, які сприяють стартовому процесу (червоний видимий спектр) і процесу закінчення будівництва ДНК (синій видимий спектр). Але хочеться отримати додаткові підтвердження зв'язку конкретних азотистих основ з певними китайськими стихіями. Тому розглянемо іншу інтерпретацію добової циркуляції стихій, яка через відома в Тибетській і Китайській медицині (кольори стихій наведені згідно доплерівській моделі описаних на мал.2 фізичних процесів).

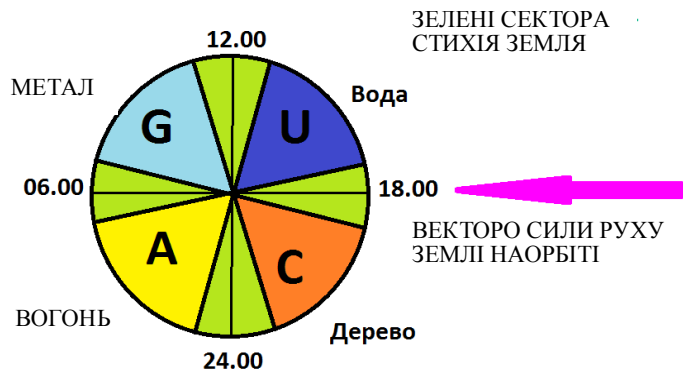


Мал. 3

На мал.3 сектори стихії Землі взагалі можна було б прибрати, тоді б 4 стихії зайняли квадранти окружності. Внаслідок доплерівського ефекту кожен квадрант має певні частотні властивості під дією вектора сили, що рухає Землю по орбіті (стрілка праворуч). Враховуючи взаємозв'язки стихій і Старт-стопи кодо-

нів в розрізі секторного запису кодонів (мал.1), визначаємо відповідність між азотистими основами і кита-йськими стихіями: Урацил (Тимін) - *стихія Води*, Цитозін - *стихія Дерева*. Кожна азотиста основа в подвійному ланцюзі ДНК утворює пару тільки з певною іншою основою: Урацил з Аденином, Цитозін з Гуаніном. Такий парний зв'язок існує і в теоріях китайської та індійської медицини, де стихії утворюють подібні пари: Дерево - Метал (Капха доша, в наших дослідженнях баланс

Mg⁺⁺ і Ca⁺⁺), Вогонь – Вода (Піта доша, баланс K⁺ і Na⁺), Земля - Вогонь-міністр (Вата доша, баланс H⁺ і OH⁻). Цей взаємозв'язок також простежується між протилежними меридіанами в добовій циркуляції (мал.2), описується відомим в акупунктурі правилом “Південь-Північ” і обумовлює баланс Ін-Ян в кожний момент добового циклу. На цій підставі ми встановлюємо такі зв'язки: Аденін - стихія Вогню, Гуанін - стихія Металу, або відповідності у вигляді мал.4. Зв'язок азотистих основ з певними китайськими стихіями обумовлює зв'язок власних частот азотистих основ з частотами, які виникають протягом доплерівського циклу (добового обертання Землі). Розглянемо діаграму



Мал.4 Зв'язок власних частот азотистих основ з фазами доплерівського циклу



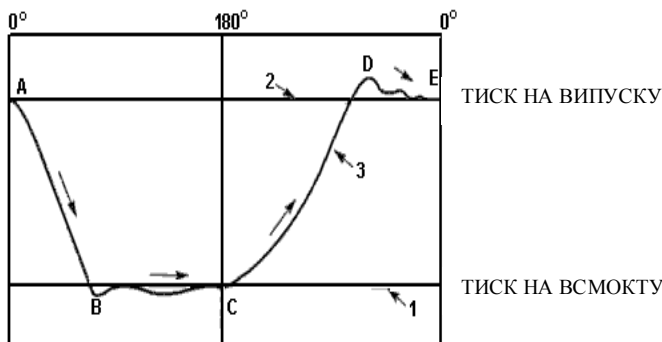
Мал. 5

(зростає число зіткнень між елементами газів). Залежність між частотою і тиском ефіру описується тією ж формулою що і звуковий тиск: $P=2\pi r_i f r c A$ де P - максимальний акустичний тиск; f - частота; c - швидкість поширення звуку; r - щільність середовища; A - амплітуда коливання часток середовища.

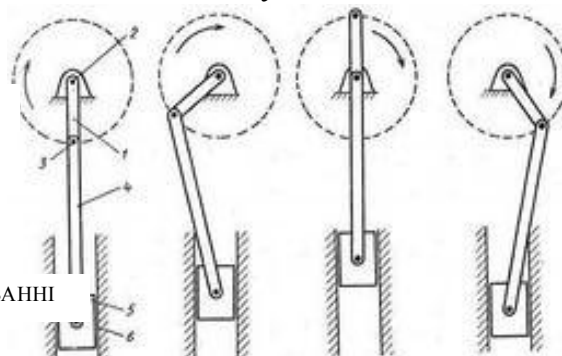
Про те, що ефірне середовище проводить коливання по акустичним законам, повідомляв Нікола Тесла: “Таким чином, безпровідний передавач не виробляє хвилі Герца, які є міфом... Він виробляє звукові хвилі в ефірі, поведінка яких схожа на поведінку звукових хвиль в повітрі, за винятком того, що величезна пружність і вкрай мала щільність даного середовища робить їх швидкість рівній швидкості світла“ (2). Саме тому нижній графік тиску на мал.6 в залежності від фази доплерівського циклу набирає вигляду, подібно графіку зміни тиску повітря в циліндрі повітряного компресора, сконструйованого на базі кривошипно-шатунної кінематики (мал.7). Це відбувається тому, що кривошипно-шатунний механізм компресора обумовлює зміни тиску в циліндрі за законами доплерівського ефекту як результат перетворення обертального руху в поступальний. Таким чином, характер зміни тиску ефіру зумовить послідовну резонансну активацію азотистих основ ДНК про-

зміни частоти в кожній фазі доплерівського циклу (мал.5). Залежно від діаметра кола та його кругової частоти обертання в потоці космічного ефіру (вектор сили, що рухає Землю - мал.4), на поверхні Землі будуть виникати області доплерівського розподілу тиску ефіру. Сектори Землі, що рухаються у напрямку вектора ефірного вітру, будуть відчувати менший тиск, ніж сектора, що рухаються проти потоку. Чем вище тиск - тим вище частота вібрацій середовища

тягом повторюваних циклів обертання. При цьому буде дотримуватися ієрархія власних (нормальних) частот азотистих основ в порядку зростання в наступному вигляді: $f_C < f_A < f_G < f_U$ (про пропорції власних частот основ буде сказано нижче).



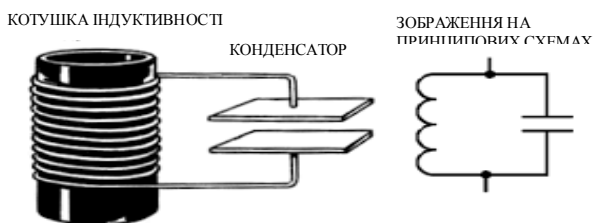
Мал.6



Мал.7

Гіпотеза про природу власних частот підстав (основ)

З біохімії відомо, що пуринові і піримідинові основи (Урацил, Тимін, Цитозин, Аденин, Гуанін) є ароматичними гетероциклами, що містять (замість одного або декількох атомів вуглецю) атоми кисню, сірки, азоту. Їх назва “Ароматичні” відповідає критеріям, властивим будь-ароматичної системі, а саме: система є циклічною, а Цикл - плоским. Є сполучення по всьому циклу, тобто можливість безперешкодної делокалізації будь-якого з р-електронів по всій системі, завдяки наявності негібризованих р-орбіталей. Число делокалізованих р-електронів відповідає прояву ароматичних властивостей за правилом Хюккеля: дорівнює $4n+2$, де n- будь-яке натуральне число, включаючи 0. Вищенаведене припускає, що азотисті основи є молекулярним коливальним контуром, де плоский гетероцикл слугує котушкою індуктивності, а місце його під'єднання до молекули рибози (або дезоксирибози)

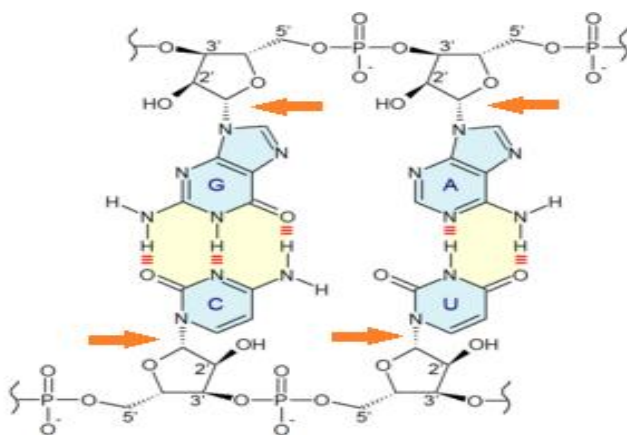


Мал. 8

створює ємність – конденсатор (мал.8). Залежно від параметрів індуктивності (L) гетероциклу азотистої основи і ємнісний зв'язку з рибозою (C), вся система буде мати резонансну (власну) частоту завдяки вільним електронам, які є в системі (3). Резонансна частота гетероцикла (азотистої основи) розраховується за формулою

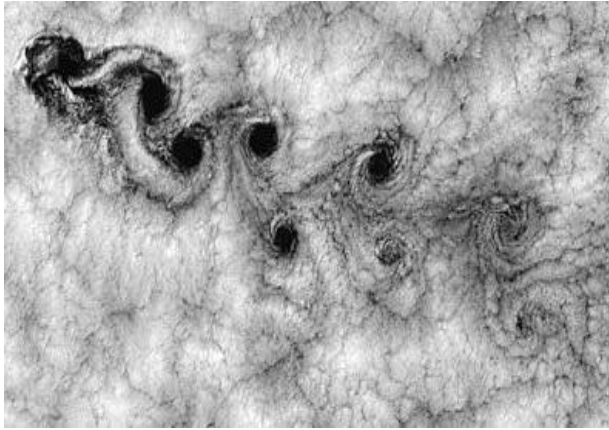
$$\omega_h = \frac{1}{\sqrt{LC}}$$

На мал.9 показані місця формування конденсатора гіпотетичного молекулярного коливального контура (резонатора) азотистих основ.



Мал. 9

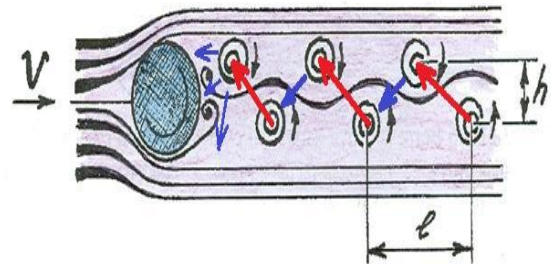
Звідки спіраль?



Мал.10

Яка структура в фізиці подібна до ДНК? На підставі чого можна вивчати спірально-видне утворення? Це стаціонарна вихрова доріжка, яка утворюється в турбулентній зоні. Вона відкрита в експериментальних спостереженнях і є спроби її опису (4). Одним з відомих природних феноменів спіралеподібного утворення (доріжка Кармана) є гігантська вихрова доріжка в хмарах, що утворилася при обтіканні вітром острова Робінзон Крузо (вид зі супутника, мал.10).

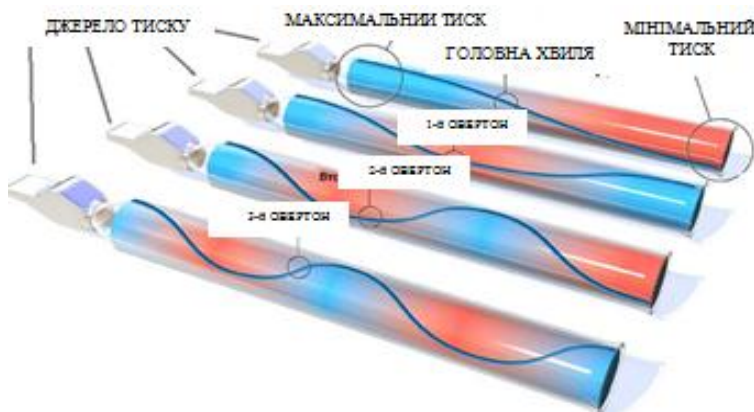
Причиною її появи є розрідженість, що утворюється за об'єктом обтікання. Залежно від в'язкості середовища і швидкості обтікання виникає група вихорів, яка об'єднується в вихрову спіраль. Через її трубку автоматично організовується канал, який перекачує середовище з зовнішнього радіуса в зону розрідження безпосередньо за обтічним об'єктом (мал.11).



Мал.11

На мал.11 червоним кольором показана верхня (ближня до спостерігача) частина спіралі, а синім, відповідно, нижня частина. Три сині стрілки близько обтічної сфери показують дисипації (розпорошення) речовини, що надходить з вихрової трубки в районі розрідженості. Таким чином, виникнення спіралі - це спосіб природної компенсації різниці ефірного тиску, а "життя" лише використовує цю спіраль для побудови власних структур. Плоскі струмопровідні кільця азотистих основ "одягаються" на спіраль в порядку локального розподілу неоднорідності ефіру на осно-

ві резонансних зв'язків. Тому виникнення спіралі ДНК неможливо без "праймаера" - короткого фрагмента нуклеїнової кислоти, який на фоні ламінарного потоку клітинної рідини формує вихрову спіраль і обумовлює параметри ланцюжка триплетів. При цьому, по мірі формування спіралі, всередині її трубки формується стояча хвиля (мал.12).



Мал 12

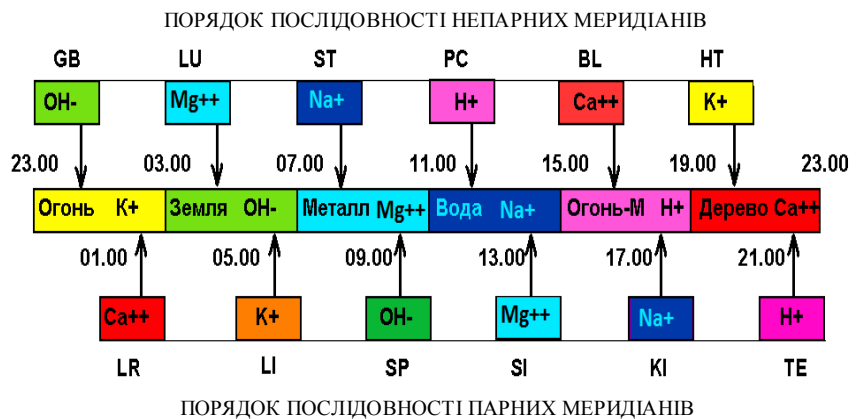
Очевидно, що кільця азотистих основ, "одягнені" на вихрову спіраль (породжену праймером) будуть регістрами своєрідного органу, збуджуваними певні частоти коливань ефіру всередині вихрової трубки. Ця "музика" повинна бути синхронізована з "головною партією" всього організму - динамічною хвильовою ефірною структурою організму у всіх найдрібніших деталях. Спіраль ДНК в прямому сенсі є приватним резонатором звукової ефірної хвилі в організмі. Сигнали зовнішнього середовища активують роботу вихрової трубки, запускають автоколваль-

ний процес в контурах азотистих основ і змушують спіраль ДНК випромінювати потрібну “мелоію”. Її сенс - створення поля стоячих хвиль в організмі як основи, що активує коливання кислотно-лужної рівноваги з метою нормалізації метаболічних процесів. Хвильовий характер ДНК виявив П.Гаряев, який представлений в теорії “лінгвістично-хвильового геному” (5).

Зв'язок триплетів ДНК з добовою активністю систем організму

У роботі “Космічний механізм життя” наведено логічне обґрунтування активності меридіанів як наслідок частотних паттернів середовища на поверхні Землі, що ви-никають внаслідок доплерівського ефекту в потоці ефіру, що рухає Землю по орбіті (8). Наведено частотну схему добової циркуляції активності меридіанів (мал.13). Колір на

мал.13 необхідно сприймати як певний частотний діапазон (відповідно до мал.4, де кольорам присвоєні діапазони власних частот азотистих основ). Тепер уявімо схему добової активності меридіанів в наступному вигляді (мал.14).



Мал.13, де: *Стихія Дерева*: Інь Дерева Печінка LR; Ян Дерева Жовчний міхур GB; *Стихія Вогню*: Інь Вогню Серце HT; Ян Вогню Тонкий кишечник SI; *Стихія Землі*: Інь Землі Селезінка SP; Ян Землі Шлунок ST; *Стихія Металу*: Інь Металу Легкі LU; Ян Металу Товстий кишечник LI; *Стихія Води*: Інь Води Нирки KI; Ян Води Сечовий міхур BL; *Стихія Вогню-Міністра*: Інь Вогню-Міністра Перікард PC; Ян Вогню-Міністра Потрійний обігрівач (Кров) TE

ЧАС ДОБИ											
17-18	18-19	19-20	20-21	21-22	22-23	23-24	00-01	01-02	02-03	03-04	04-05
КІ	HT	TE	GB	LR	LU						
U	C	A	G	U	C	A	G	U	C	A	G
Мин-р	Стихія Дерева (С - активність)					Стихія Огня (А-активність)				Земля	
ЧАС ДОБИ											
05-06	06-07	07-08	08-09	09-10	10-11	11-12	12-13	13-14	14-15	15-16	16-17
LI	ST	SP	PC	SI	BL						
A	G	U	C	A	G	U	C	A	G	U	C
Земля	Стихія Металу (G - активність)					Стихія Води (U-активність)				Мин-р	

Мал. 14

На мал.14 кожен двогодинний період меридіану (Ші в китайській медицині) був розбитий на часові відрізки, з якими співставлені азотисті основи за принципом гіпотетичної можливості сформувати частоту меридіана в колірному діапазоні.

Так, частоти Урацилу (U) і Цитозину (C) здатні синтезувати частоту меридіана Нирок; Аденину (A) і Гуаніну (G) - Серця і так далі. Розподіл азотистих основ між меридіанами виявив два періоди, де дотримується нормальна послідовність С-А-Г-У-С-А- (порядок проходження стихій за правилом породження в китайській філософії, а з фізичної точки зору - послідовність зміни частотних паттернів, як результат безперервного повторення послідовності доплерівських частотних паттернів в потоці ефіру). Умовно нічний період починається з 17 години і триває до 05 годин, починається з Урацилу (U) і закінчується Гуаніном (G). Всього в цей період укладається три повні групи послідовності азотистих основ в порядку породження.

При цьому ми розуміємо, що поєднання вібрацій Урацила (U) і Цитозіна (C) дає фіолетові вібрації Вогню-міністра (поєднання синіх і червоних частот), а поєднання Аденіну (A) і Гуаніну (G) - зелені вібрації Землі (поєднання жовтих і блакитних частот). Тобто ми спостерігаємо циклічний процес зміни кислотно-лужної рівноваги середовища, яка активується активністю меридіанів. На мал.14 системи нічного періоду, які активують зрушення в лужну сторону, представлені групою Серця (HT), Жовчного міхура (GB), Легенів (LU). Зрушення в кислотному напрямку здійснюють Нирки (KI), Три обігрівача (Кров, TE), Печінка (LR).

З точки зору метаболізму клітин, має значення з якого боку клітинної мембрани формується кислотний або лужний патерн. Анаболічний стан супроводжується лужним позаклітинним середовищем при кислотному середовищі клітини (в цьому випадку вона втягує електрони всередину для активації відновних реакцій). Катаболічний стан (з точки зору полярності кислотних і лужних середовищ щодо клітинної мембрани) формує перевага негативно заряджених радикалів всередині клітини, що активує окисну активність клітинних елементів завдяки активації вільних форм кисню.

З точки зору китайської медицини Ян - це зовнішнє, Инь - внутрішнє. Отже, описані вище кислотно-лужні патерни повинні розглядатися з точки зору їх розташування відносно клітинних мембран. В цьому випадку кислотний стан Нирок означає анаболізм, лужний стан Серця (HT) - катаболізм, кислотний стан Потрійного обігрівача (Крові -TE) - катаболізм, лужний стан Жовчного міхура (GB) - анаболізм, кислотний стан Печінки (LR) - анаболізм, лужний стан Легенів - катаболізм.

Як видно, кожна пара меридіанів, організуюча певну стихію в циклі добової циркуляції, знаходиться в однаковому метаболічному стані. Так же існує зміна метаболічної фази при послідовному переході від стихії до стихії: катаболічна активність пари "Серце-Три обігрівача" змінюється анаболічною активністю пари "Жовчний міхур-Печінка" і так далі (за винятком парних систем "Товстий кишечник-Легкі" і "Сечовий міхур-Нирок", про які йтиметься нижче).

В період 05-17 годин відбувається розрив порядку активності азотистих основ: система Товстого кишечника (LI) має ту ж пару азотистих основ (A Аденін - G Гуанін), що і співвідносна (по Инь і Ян) система Легенів (LU). Це означає наявність повного резонансу патернів лужного середовища між системами Толстого кишечника (LI-фаза анаболізму) і Легенів (LU-фаза катаболізму). При цьому досягається максимальна компенсація метаболічних фаз на тлі загального залужнення. Така ж взаємна метаболічна компенсація відбувається і ввечері о 17 годині між системами Сечового міхура (VL-фаза катаболізму) і Нирок (KI-фаза анаболізму), але вже на фоні загального закислення - метаболічної активності Урацилу (U) і Цитозіну (C). Таким чином, при розташуванні Стихій з мал.4 на структуру систем мал.14, ми отримуємо внутрішній зміст кожної стихії з точки зору послідовності активації азотистих основ.

На додаток до схем на мал.4 і мал.14, застосуємо ще одне правило, яке визначає внутрішній зміст стихій. Це правило спостерігається в структурі меридіанів циклу Цзи-У-Лю-Чжу - методі китайської хронопунктури (6). Коли активність меридіана починається з його корінної Ці (в даному випадку Ці як стихія нижчого рівня), нею ж вона і закінчується в "точці воз'єднання" ("зустріч стволів"). Відповідно до цього, стихії на мал.14 починаються і закінчуються на родинних азотистих основах: *Дерево* на Цитозіні (C); *Вогонь* на Аденіні (A); *Метал* на Гуаніні (G); *Вода* на

Урацілі (U). З цього випливає, що стихії мають наступний зміст з точки зору активності азотистих основ: *Дерево* C-A-G-U-C; *Вогонь* A-G-U-C-A; *Метал* G-U-C-A-G; *Вода* U-C-A-G-U. І такі послідовності означатимуть активність відповідної стихії на кожному рівні ієрархії. Підсумовуємо все вищесказане у вигляді таблиці, в яку вбудуємо триплети з урахуванням обумовлених правил (мал.15).

С Т И Х И Я Д Е Р Е В О	П О Ч К И	18-19	C C C	Пролин (Pro)	Т К	06-07	G G G	Глицерин (Gly)	
			C C A	Пролин (Pro)			G G U	Глицерин (Gly)	
			C C G	Пролин (Pro)			G G C	Глицерин (Gly)	
			C C U	Пролин (Pro)			G G A	Глицерин (Gly)	
			C C C	Пролин (Pro)			G G G	Глицерин (Gly)	
	С Е Р Д Ц Е	19-20	C A A	Глутамин (Gln)	Ж Е Л У Д О Л К	07-08	G U U	Валин (Val)	
			C A G	Глутамин (Gln)			G U C	Валин (Val)	
			C A U	Гистидин (His)			G U A	Валин (Val)	
			C A C	Гистидин (His)			G U G	Валин (Val)	
			C A A	Глутамин (Gln)			G U U	Валин (Val)	
		20-21	C G G	Аргинин (Arg)		G C C	Аланин (Ala)		
			C A A	Глутамин (Gln)		G U U	Валин (Val)		
			C G G	Аргинин (Arg)		G C C	Аланин (Ala)		
			C G U	Аргинин (Arg)		G C A	Аланин (Ala)		
			C G C	Аргинин (Arg)		G C G	Аланин (Ala)		
	ТРН	21-22	C G A	Аргинин (Arg)	П А Н К Р Е В А	08-09	G C U	Аланин (Ala)	
			C G G	Аргинин (Arg)			G C C	Аланин (Ala)	
			C U U	Лейцин (Le)			G A A	Глутаминова кислота (Glu)	
			C U C	Лейцин (Le)			G A G	Глутаминова кислота (Glu)	
			C U A	Лейцин (Le)			G A U	Аспарагинова кислота (Asp)	
О Б О Г Р Е В	22-23	C U G	Лейцин (Le)	Р Е В А	10-11	G A C	Аспарагинова кислота (Asp)		
		C U U	Лейцин (Le)			G A A	Глутаминова кислота (Glu)		
		C C C	Пролин (Pro)			G G G	Глицерин (Gly)		
		C C A	Пролин (Pro)			G G U	Глицерин (Gly)		
		C C G	Пролин (Pro)			G G C	Глицерин (Gly)		
С Т И Х И Я О Г Н Я	Ж П Е У П З Ч Ь Н Р Ь Ь Й	23-00	A A A	Лизин (Lys)	С Т И Х И Я В О Д И С Т И Х И Я	11-12	U U U	Фенілаланін (Phe)	
			A A G	Лизин (Lys)			U U C	Фенілаланін (Phe)	
			A A U	Аспарагин (Asp)			U U A	Лейцин (Leu)	
			A A C	Аспарагин (Asp)			U U G	Лейцин (Leu)	
			A A A	Лизин (Lys)			U U U	Фенілаланін (Phe)	
	00-01	A G G	Аргинин (Arg)	U C C		Серин (Ser)			
		A A A	Лизин (Lys)	U U U		Фенілаланін (Phe)			
		A G G	Аргинин (Arg)	U C C		Серин (Ser)			
		A G U	Серин (Ser)	U C A		Серин (Ser)			
		A G C	Серин (Ser)	U C G		Серин (Ser)			
	П Е Ч Е Н Ь	01-02	A G A	Аргинин (Arg)		Т К О Н Ш К Е Н Ч Й Н К	13-14	U C U	Серин (Ser)
			A G G	Аргинин (Arg)				U C C	Серин (Ser)
			A U U	Ізолейцин (Ile)				U A A	Стоп (Stop)
			A U C	Ізолейцин (Ile)				U A G	Стоп (Stop)
			A U A	Ізолейцин (Ile)				U A U	Тирозин (Uyr)
02-03	A U G	Метіонін (Met) Start	U A C	Тирозин (Uyr)					
	A U U	Ізолейцин (Ile)	U A A	Стоп (Stop)					
	A C C	Треонін (Uhr)	U G G	Глицерин (Gly)					
	A U U	Ізолейцин (Ile)	U A A	Стоп (Stop)					
	A C C	Треонін (Uhr)	U G G	Триптофан (Urp)					
Л Е Г К И Е	03-04	A C A	Треонін (Uhr)	М П О У Ч З Е Ь В Р О Ь	15-16	U G U	Цистеїн (Cys)		
		A C G	Треонін (Uhr)			U G C	Цистеїн (Cys)		
		A C U	Треонін (Uhr)			U G A	Стоп (Stop)		
		A C C	Треонін (Uhr)			U G G	Триптофан (Urp)		
		A A A	Лизин (Lys)			U U U	Фенілаланін (Phe)		
С З Т Е Н И Х Л И И Я	04-05	G G G	Глицерин (Gly)	С М Т И Х И Я	16-17	C C C	Пролин (Pro)		
		G G U	Глицерин (Gly)			C C A	Пролин (Pro)		
		G G C	Глицерин (Gly)			C C G	Пролин (Pro)		
		G G A	Глицерин (Gly)			C C U	Пролин (Pro)		
		G G G	Глицерин (Gly)			C C C	Пролин (Pro)		
Т К О Н Ш К Е Н Ч Й Н К	05-06	A A A	Лизин (Lys)	П О Ч К И	17-18	U U U	Фенілаланін (Phe)		
		A A G	Лизин (Lys)			U U C	Фенілаланін (Phe)		
		A A U	Аспарагин (Asp)			U U A	Фенілаланін (Phe)		
		A A C	Аспарагин (Asp)			U U G	Фенілаланін (Phe)		
		A A A	Лизин (Lys)			U U U	Фенілаланін (Phe)		

Мал. 15

Як видно з таблиці, в 24 годинах ми маємо 120 періодів по 12 хвилин тривалістю. У методиці хронопунктури У-Лю-Чжу-Ці розподіл будь-якого циклу становить саме 120 відрізків по 5 відрізків в кожному з 24 чотирьох секторів (годин в добовій циркуляції стихій). З 120 періодів стихії Дерево, Вогонь, Метал, Вода мають тривалість 25 відрізків по 12 хвилин, а Земля і Вогонь-міністр по 10 відрізків. Кожна стихія (старша основа триплета) з 25 відрізків містить в собі 5 субстихій (середня основа триплета), які в свою чергу також діляться на 5 елементарних стихій (молодша основа триплета).

Стартовий триплет AUG розташований в середині проміжку активності меридіана Інь Дерева (LR-Печінка - стихія початку всіх процесів). У той же час, триплети закінчення реплікації (UAA, UAG) знаходяться в другій половині стихії Вода, а останній триплет (UGA) має позицію в стихії Води меридіані Ян Води (сечовий міхур) - як маніфестація закінчення, руйнування будь-якого процесу в китайській філософії.

Прямий зв'язок чотирьох азотистих основ з дванадцятьма меридіанами китайської медицини.

В даний час генетики не бачать різниці між азотистими основами в залежності від їх положення в триплеті. Однак, такий зв'язок очевидний - старші основи в триплеті мають більш низьку частоту власних коливань і тому їх фаза активності в схемі на мал.15 має довший період (для забезпечити нерозривності коливального процесу відповідної стихії). Скоріше за все, в процесі "нанизування" азотистих основ на вихрову спіраль (ділянку, яка виконує функції молекулярного конденсатора в коливальному контурі) пара "підстава - вуглеводно-фосфатний каркас" грає певну роль, яка диктується коливаннями зовнішнього середовища. Тому кожна основа в структурі ДНК може брати участь в трьох типах коливань, пов'язаних між собою резонансними співвідношеннями.

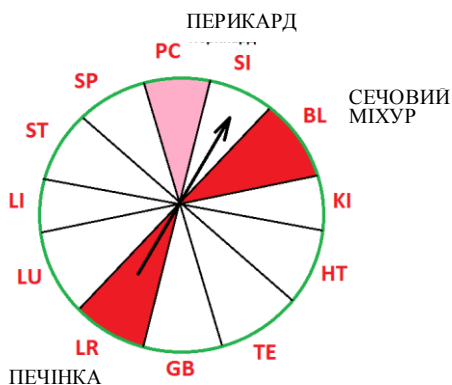
Спробуємо встановити позицію кожної системи (меридіану) в повному наборі азотистих основ, створеного по принципу пози-

Старша основа	C- Перикард	A – Товстий кишечник	G – Жовчний міхур	U - Нирки
Середня основа	C – Печінка	A - Серце	G – Тонкий кишечник	U - Шлунок
Молодша основа	C – Сечовий міхур	A - Панкреас	G - Легені	U – Три обігрівачі

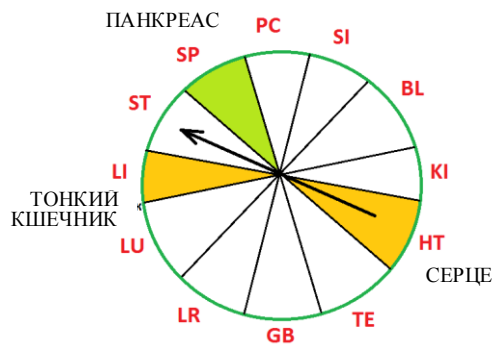
Рис. 16

ціонування в триплеті. Використовуємо правилом Інь-Ян, яке говорить про те, що Інь має більш низькі (повільні) частотні характеристики в порівнянні з Ян і з урахуванням колірних (частотних) характеристик кожного меридіана (мал.16).

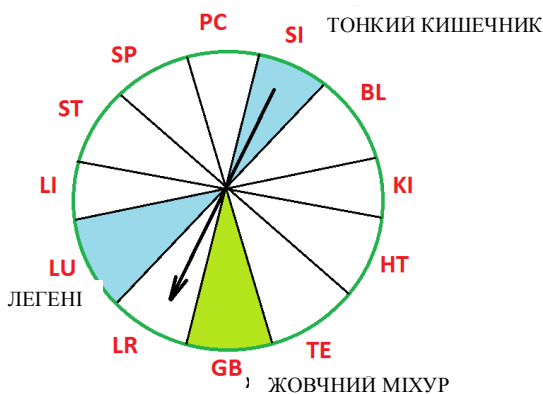
а. Мал.16 по колонкам:



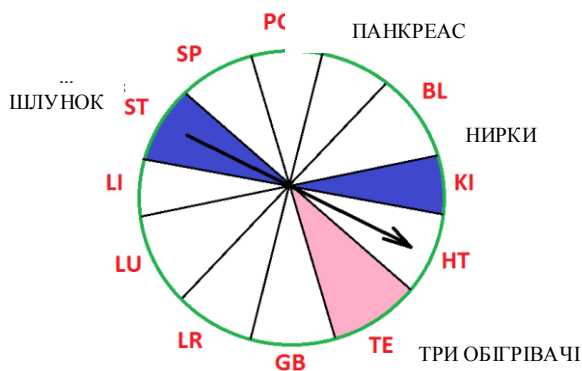
Мал. 17 Схема активності меридіанів в колонці цитозин (С) - червоний колір: відображає функціональний резонанс між системами по лінії 02.00-14.00 годин.



Мал.18 Відображає функціональний резонанс між системами по лінії 20.00-08.00 годин. Схема активності меридіанів в колонці аденін (А) - жовтий колір

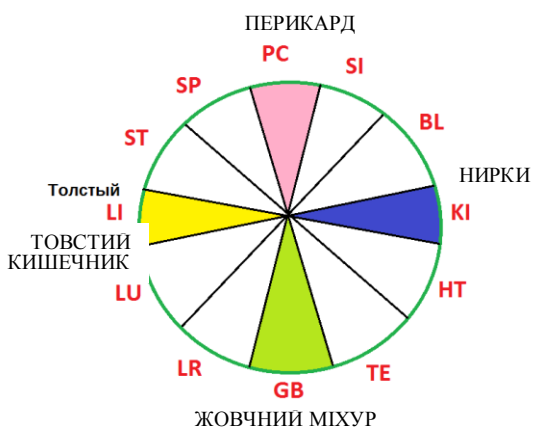


Мал.19 Відображає функціональний резонанс між системами по лінії 02.00-14.00 годин за структурою, інверсний цитозин на мал.17. Схема активності меридіанів в колонці гуанін (G) - блакитний колір.

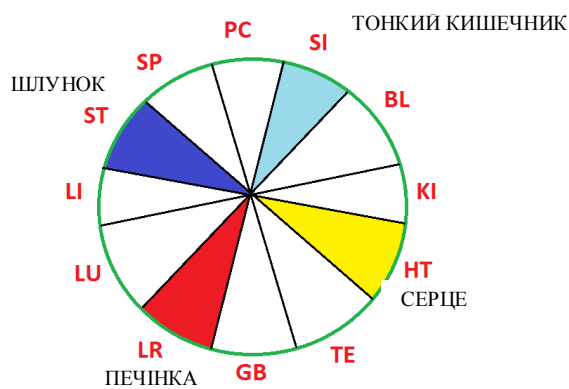


Мал.20 Відображає функціональний резонанс між системами по лінії 20.00-08.00 годин за структурою, інверсний аденін на мал.18. Схема активності меридіанів в колонці урацил (U) - синій колір

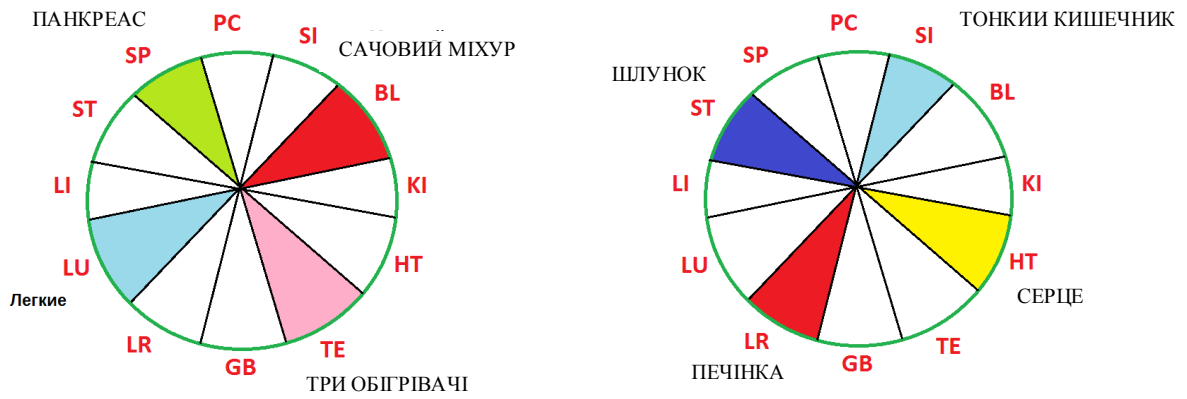
б. Мал. 16 по рядках



Мал. 21 Рядок старших основ



Мал. 22 Рядок середніх основ



Мал. 23 Рядок молодших основ

На мал. 20-23 представлені три системи взаємодіючих меридіанів, де кожна з систем складається з двох пар резонансних систем, зсунутих по фазі в добовій циркуляції на 90° (взаємини косинуса і синуса функцій).

с. Мал. 16 по діагоналі (зверху-вниз):

Старша основа	С – перикард	А – товстий кишечник	G- жовчний міхур	U – нирки
Середня основа	С – печінка	А – серце	G- тонкий кишечник	U - шлунок
Молодша основа	С - сечовий міхур	А – панкреас	G- легені	U – три обігрівачі
		G- жовчний міхур	U - Нирки	
			U - Шлунок	

Мал. 24

На мал. 24 ми бачимо взаємини між меридіа-нами, в яких був виявлений взаємний метаболічний резонанс наступних систем: 1- Печінка, Панкреас, Нирки; 2- Перикард, Серце, Легені; 3- Товстий кишеч-

ник, Тонкий кишечник, Три обігрівача; 4- Жовчний міхур, Шлунок, Сечовий міхур (10).

d. Мал. 16 по діагоналі (знизу-вгору):

		С – перикард	А – товстий кишечник	G- жовчний міхур	U – нирки
		С – печінка	А – серце	G- тонкий кишечник	U - шлунок
		С - сечовий міхур	А – панкреас	G- легені	U – три обігрівачі
Старша основа	С – перикард	А – товстий кишечник	G- жовчний міхур	U – нирки	
Середня основа	С – печінка	А – серце	G- тонкий кишечник	U - шлунок	
Молодша основа	С - сечовий міхур	А – панкреас	G- легені	U – три обігрівачі	
	С – перикард	А – товстий кишечник	G- жовчний міхур	U – нирки	
	С – печінка	А – серце	G- тонкий кишечник	U - шлунок	
	С - сечовий міхур	А – панкреас	G- легені	U – три обігрівачі	

Мал. 25

Як бачимо (мал.25), відповідність між азотистими основами і активністю меридіанів на мал.16 має певну системність і узгодженість з постулатами Китайської Традиційної Медицини.

Висновки

1..Представлена модель активності азотистих основ протягом доби може мати наступне практичне застосування:

- Використання ефектів кислотно-лужної рівноваги для регуляції добового циклу біоритмів;

- Дієтичне призначення 20 головних амінокислот для відновлення метаболічного балансу на основі хроноритмів організму;

- Цілеспрямоване використання 60 точок У-Шу з метою корекції енергетичного балансу організму за допомогою акупунктури в будь-який час доби без ризику побічних ефектів;

- В перспективі дає можливість розвитку технологій цілеспрямованої корекції генетичних ушкоджень.

2.Ефективні наслідки застосування коригувальних методів неможливі без адекватної оцінки стану організму спеціальними спектральними методами, одним з яких є пульсовий метаболічний аналіз (ПМА).

Використана література

1. Еремеев В.Е., Чертеж антропокосмоса Москва, 1993
2. Nikola Tesla, "Pioneer Radio Engineer Gives Views On Power", New York Herald Tribune, September 11, 1932
3. Slinker J.D et al, "DNA charge transport over 34 nm", Nature Chemistry, 2011, DOI: 10.1038/nchem.982
4. Якубовский Е.Г., "Описание режима планирования летательного аппарата", Сборник научных трудов "Проблемы современной науки" выпуск 5 часть 2 , изд. ЛОГОС, Ставрополь, 2012, стр. 99-123., (http://russika.ru/userfiles/390_1451353152.pdf)
5. Гаряев П.П., «Лингвистико-волновой геном: теория и практика»; Институт квантовой генетики. — Киев, 2009 — 218 с.
6. Лю Бинь Цюань, «Методы китайской хронопунктуры», изд. Профит-Стайл, Москва 2004, стр. 70.
8. <http://pulse-academy.org/files/LifeMechanicsRU.pdf>
9. http://russika.ru/userfiles/390_1451353152.pdf
10. <http://pulse-academy.org/files/ActionPotentialRU2.pdf>